

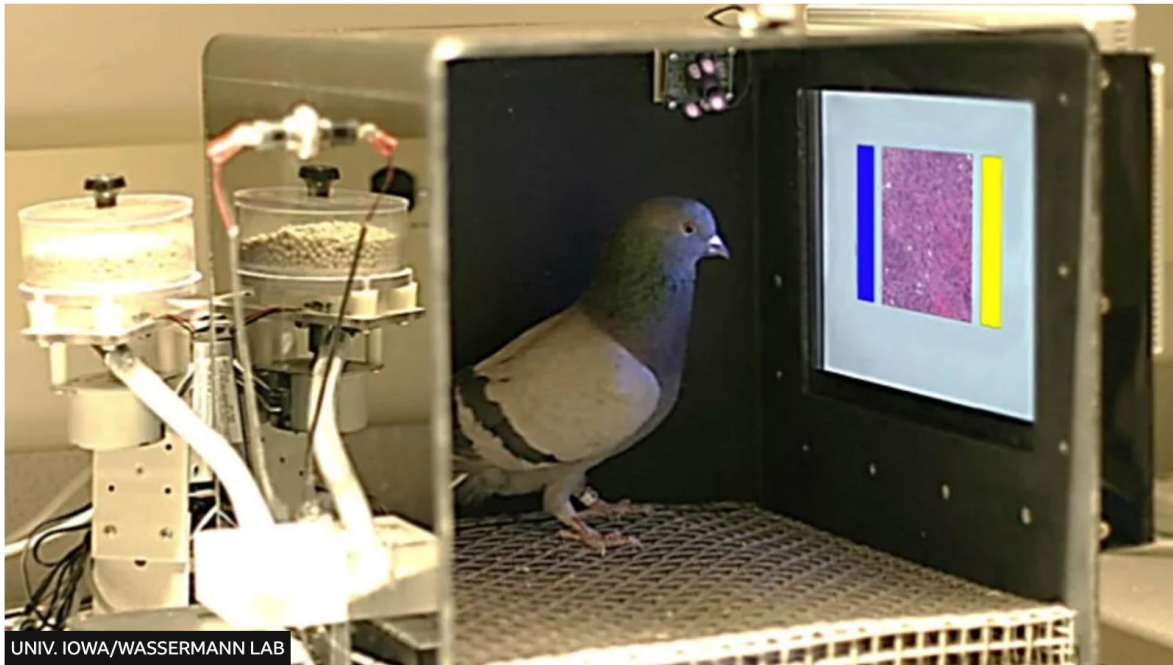
Výzvy a důsledky využití AI v radiologii: Praktické zkušenosti s implementací umělé inteligence v ČR



Proč AI v medicíně?

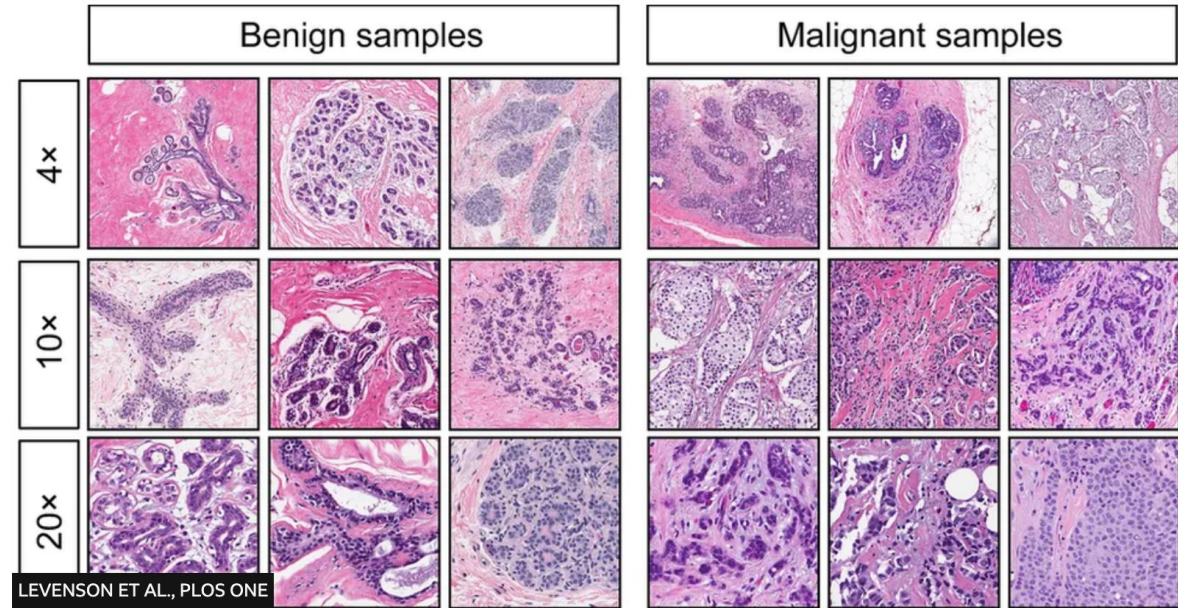
Pigeons identify breast cancer 'as well as humans'

© 20 November 2015



UNIV. IOWA/WASSERMANN LAB

The birds were rewarded with food pellets when they correctly identified tumour samples



How would you do? These are some of the images shown to the pigeons

After two weeks of training, the pigeons reached a level of 85% accuracy. Because they successfully identified cancerous tissue from images they had not seen before, the researchers ruled out rote-learning of the images as an explanation.



Andrew Ng ✓

@AndrewYNg

Follow



Should radiologists be worried about their jobs? Breaking news: We can now diagnose pneumonia from chest X-rays better than radiologists.

stanfordmlgroup.github.io/projects/chexn...

3:20 PM - 15 Nov 2017 from Mountain View, CA

1,417 Retweets 2,377 Likes



114 1.4K 2.4K



Geoffrey Hinton

"I think that if you work as a radiologist, you are like Wile E. Coyote in the cartoon. You're already over the edge of the cliff, but you haven't yet looked down. There's no ground underneath. People should stop training radiologists now. It's just completely obvious that in five years deep learning is going to do better than radiologists."

Nov 24, 2016



V České republice se ročně provede přibližně
3 000 000 rentgenů hrudníku.

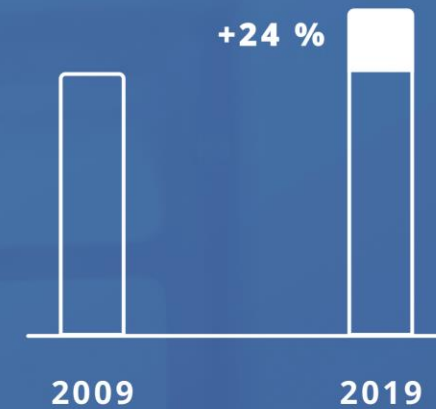
Přetížení lékaři

Počet snímků, které radiolog musí vyhodnotit, **každoročně roste.**

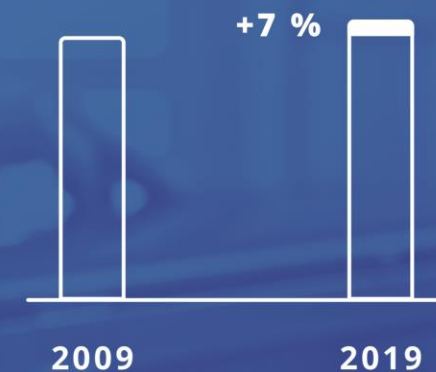
Počet lékařů zůstává téměř stejný.

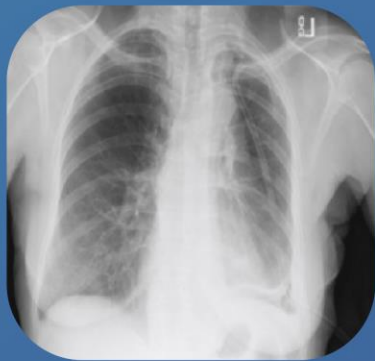
Radiologové se tak potýkají s **neúměrnou pracovní zátěží**, která se bude každým rokem zvyšovat.

NÁRŮST RTG VYŠETŘENÍ



POČET RADIOLOGŮ V ČR





Lékař 1

- ✓ ATALEKTÁZA
- ✓ PNEUMOTHORAX
- ✓ FLUIDOTHORAX

Lékař 2

- ✗ ATALEKTÁZA
- ✓ PNEUMOTHORAX
- ✓ FLUIDOTHORAX

Lékař 3

- ✓ ATALEKTÁZA
- ✗ PNEUMOTHORAX
- ✓ FLUIDOTHORAX



- ✓ NORMÁLNÍ NÁLEZ
- ✗ ATALEKTÁZA
- ✗ PLICNÍ EDÉM
- ✗ LÉZE V PLICNÍM PARENCHYMU

- ✗ NORMÁLNÍ NÁLEZ
- ✓ ATALEKTÁZA
- ✓ PLICNÍ EDÉM
- ✗ LÉZE V PLICNÍM PARENCHYMU

- ✗ NORMÁLNÍ NÁLEZ
- ✗ ATALEKTÁZA
- ✗ PLICNÍ EDÉM
- ✓ LÉZE V PLICNÍM PARENCHYMU



- ✓ KONSOLIDACE PLICNÍ TKÁNĚ
- ✓ FLUIDOTHORAX
- ✓ LÉZE V PLICNÍM PARENCHYMU

- ✓ KONSOLIDACE PLICNÍ TKÁNĚ
- ✓ FLUIDOTHORAX
- ✓ LÉZE V PLICNÍM PARENCHYMU

- ✗ KONSOLIDACE PLICNÍ TKÁNĚ
- ✓ FLUIDOTHORAX
- ✗ LÉZE V PLICNÍM PARENCHYMU

CE 1023



carebot



System vyznačí,
co se na snímku nachází
a vypíše krátkou zprávu.



Pomůže lékařům
v nemocnicích, nebo při
klinických zkouškách nových
léků.



Natrénován na statisících
snímcích z celého světa.



Implementován v lékařově
systému. **Nemění jeho**
pracovní postupy.





Celé jméno	Identifikace	Datum narození	Modality	Datum vyšetření	Zobrazeno	Popis
> <input type="checkbox"/> P. A. (6)	1111	1992-01-01	MG, PR, SR	2023-06-30 14:58	2023-08-16 12:23	Diagnostic Mammography
▼ <input type="checkbox"/> SUMPERK MOSTHGP1UWADX36VBH20 (4)	SUMPERK MOSTHGP1UWADX36...		DOC, DX, PR, SR	2023-07-02 10:04	2023-08-16 12:23	PLICE VLEZE
Úroveň	Náhled série	Modality	Datum a čas	Popis		
<input type="checkbox"/> Série 1001 (1)		DOC		CAREBOT: Vysoke riziko		
<input type="checkbox"/> Série 1 (1)		DX	2023-07-02 10:04	X Plice a.p., bez mrizky		
<input type="checkbox"/> Série 1000 (1)		PR	2023-08-11 12:50	CAREBOT: Vysoke riziko		
<input type="checkbox"/> Série 1000 (1)		SR	2023-08-11 12:50	CAREBOT: Vysoke riziko		
▼ <input type="checkbox"/> PACIENT 05 Anonym (4)	0005		DOC, DX, PR, SR	2023-08-15 00:00	2023-08-16 12:23	
Úroveň	Náhled série	Modality	Datum a čas	Popis		
<input type="checkbox"/> Série 1001 (1)		DOC		CAREBOT: Nizke riziko		
<input type="checkbox"/> Série 1862 (1)		DX				
<input type="checkbox"/> Série 1000 (1)		SR	2023-08-02 13:35	CAREBOT: Nizke riziko		
<input type="checkbox"/> Série 1000 (1)		PR	2023-08-02 13:35	CAREBOT: Nizke riziko		
▼ <input type="checkbox"/> DATA 6BWU8BNERJZC6L1M02L8 (4)	data 6BWU8BNERJZC6L1M02L8		DOC, DX, PR, SR	2023-04-05 11:59	2023-08-16 11:23	Plice,Th pater
Úroveň	Náhled série	Modality	Datum a čas	Popis		
<input type="checkbox"/> Série 1001 (1)		DOC		CAREBOT: Vysoke riziko		
<input type="checkbox"/> Série 1 (1)		DX	2023-04-05 11:59	W Plice p.a.		
<input type="checkbox"/> Série 1000 (1)		PR	2023-04-29 15:00	CAREBOT: Vysoke riziko		
<input type="checkbox"/> Série 1000 (1)		SR	2023-04-29 15:00	CAREBOT: Vysoke riziko		
> <input type="checkbox"/> DATA 3RTE00LGEBTEOKW9FYJT (4)	data 3RTE00LGEBTEOKW9FYJT		DOC, DX, PR, SR	2023-04-06 17:25	2023-08-16 11:16	PLICE

Anonymní Pacient
ID: 129164

RTG - Plíce
15. 3. 2024 9:11:01

Pracovní sada snímků - Anonymní Pacient - 4 Série

1 W Plíce p.a.

1 snímek DX

1000 CAREBOT: Vys...

SR

1 snímek SR

1000 CAREBOT: Vys...

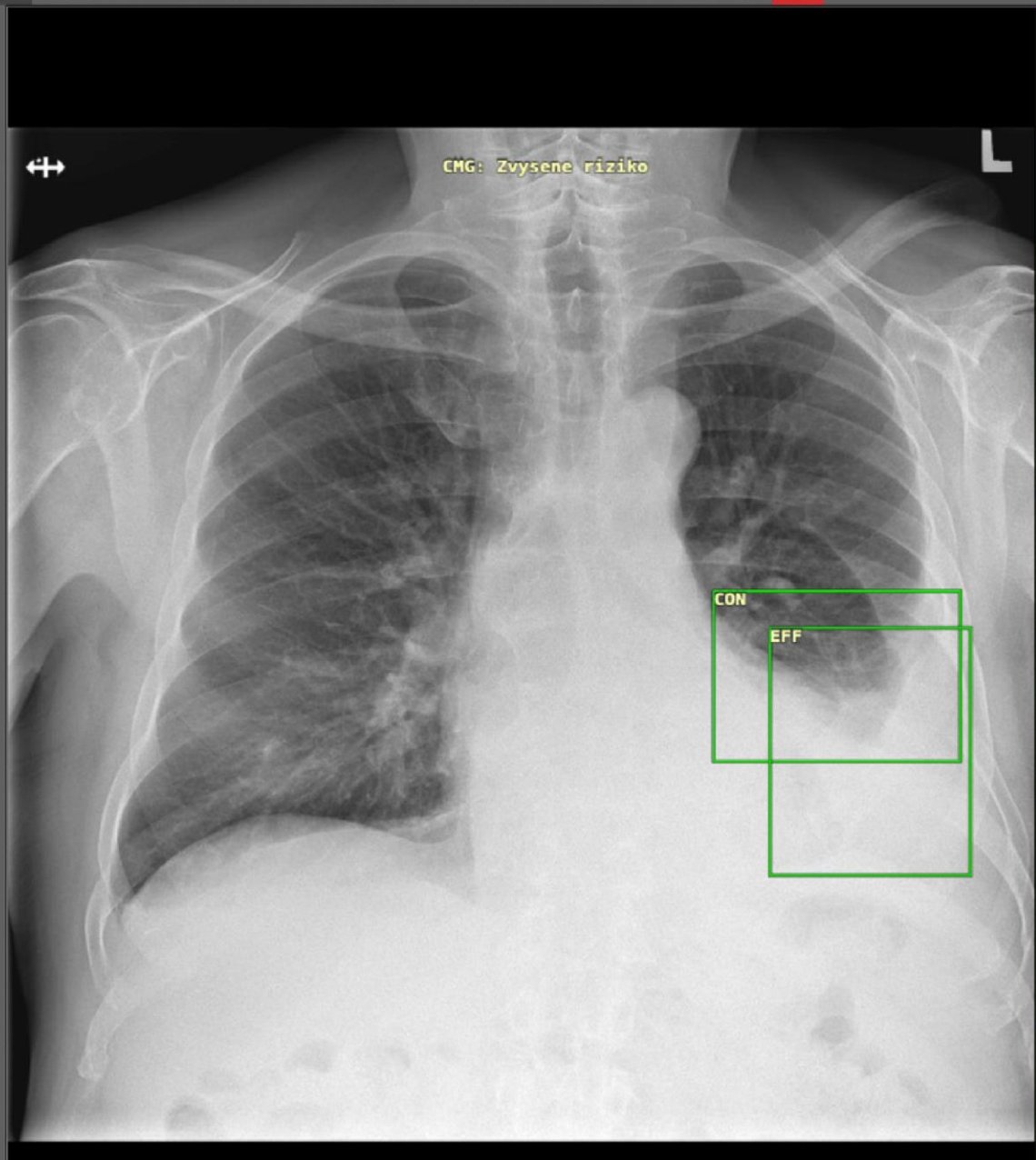
PR

1 snímek PR

1001 CAREBOT: Vys...

DOC

1 snímek DOC



Pacient

Anonymní Pacient, ostatní
ID: 129164

Studie

Číslo žádanky: FMF_
Datum vyšetření: 15. 3. 2024 - 9:11:01
Datum zprávy: 15. 3. 2024
Popis studie: RTG - Plíce

Jazyk textu: Czech
Typ pozorovatele: Přístroj
Výrobce přístroje: CAREBOT
Název přístroje: Carebot AI CXR
Modelové číslo přístroje: 2.2.19

Zjištění:

Nález

(Upozornění: Následující textový výstup je automaticky generován na základě výsledku analýzy snímku umělou inteligencí. Definitivní hodnocení snímku a lékařská zpráva musí být korelována s klinickým obrazem a zůstává odpovědností lékaře.)

Plíce: Na snímku jsou známky přítomnosti fluidothoraxu. Jsou přítomny známky konsolidace plicního parenchymu. Bez známek atelektázy. Bez detekovaných ložiskových změn v rozsahu plic. Plicní křídla jsou rozvinutá.
Srdce: Srdeční stín je hraniční šíře.
Ostatní: Bez známek podkožního emfyzému v zobrazeném rozsahu.

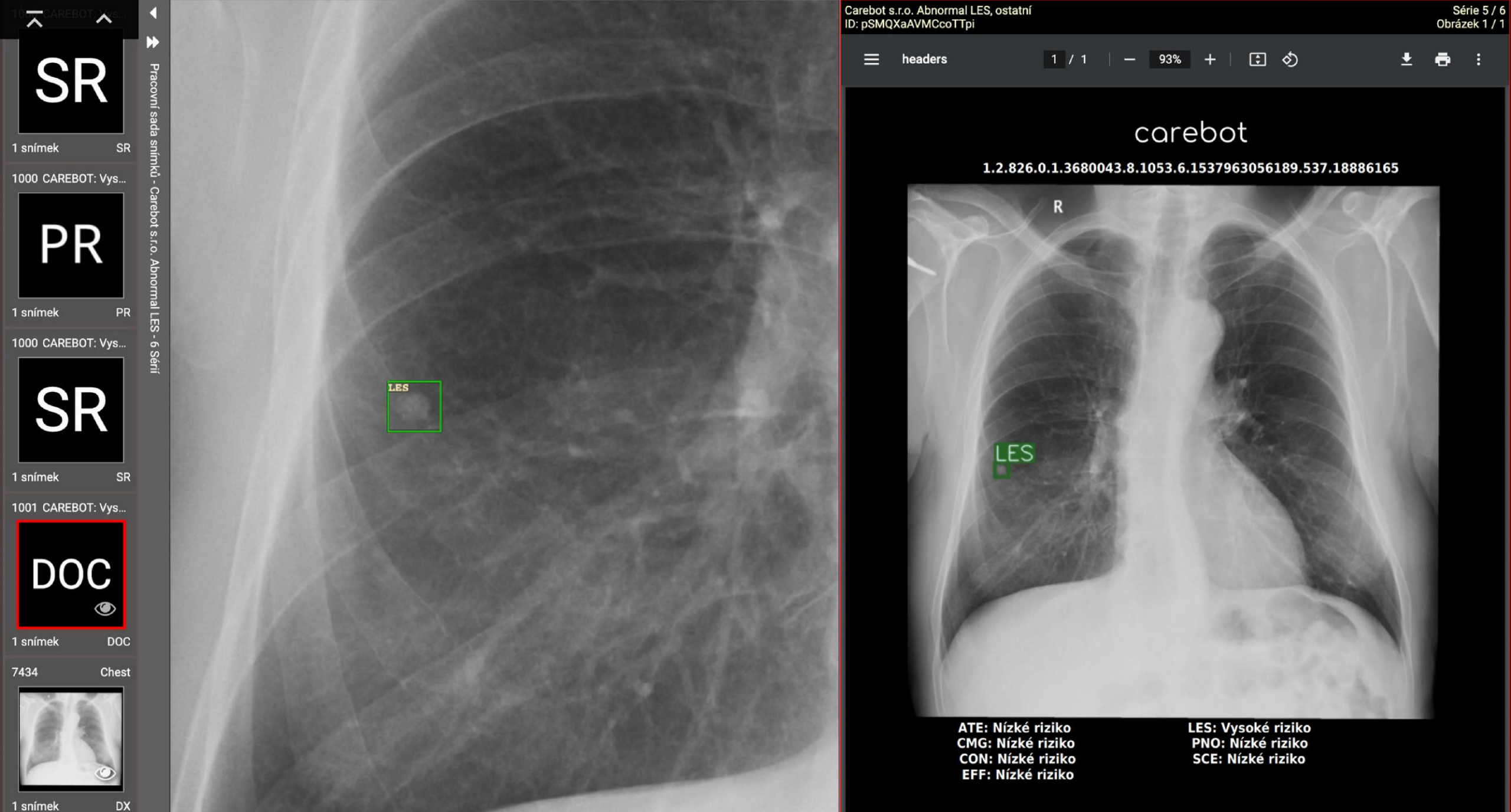
Rizikové skóre:
Zvětšení srdečního stínu (CMG): Zvýšené riziko
Fluidothorax (EFF): Vysoké riziko
Konsolidace plicního parenchymu (CON): Vysoké riziko
Atelektáza (ATE): Nízké riziko
Léze plicního parenchymu (LES): Nízké riziko
Pneumothorax (PNO): Nízké riziko
Podkožní emfyzém (SCE): Nízké riziko

Study Instance UID 1.2.826.0.1.3680043.8.1053.6.1538743610085.263.639896745

Carebot AI CXR je systém pro podporu rozhodování (zařazení „prediction, software that is intended to provide information for decision-making for diagnostic or therapeutic purposes“) na bázi počítačem podporované detekce. Software Carebot AI CXR je certifikován v souladu s požadavky Nařízení Evropského parlamentu a Rady (EU) 2017/745 (MDR) oznámeným subjektem NB 1023 (Institut pro testování a certifikaci, a. s.). Software Carebot AI CXR může obsluhovat pouze zaškolený personál s požadovanou způsobilostí. Vyhodnocování snímků lze provádět pouze na certifikovaných radiologických monitorech a v souladu s doporučením výrobce. Před užitím je nutné seznámit se s návodem k použití. V případě obdržení nesprávného výsledku prosím kontaktujte report@carebot.com pro předání zpětné vazby.

Čtěte návod k použití na odkaze
[Redacted]

Carebot s.r.o.
Rozdrojovice 26E
664 34 Rozdrojovice



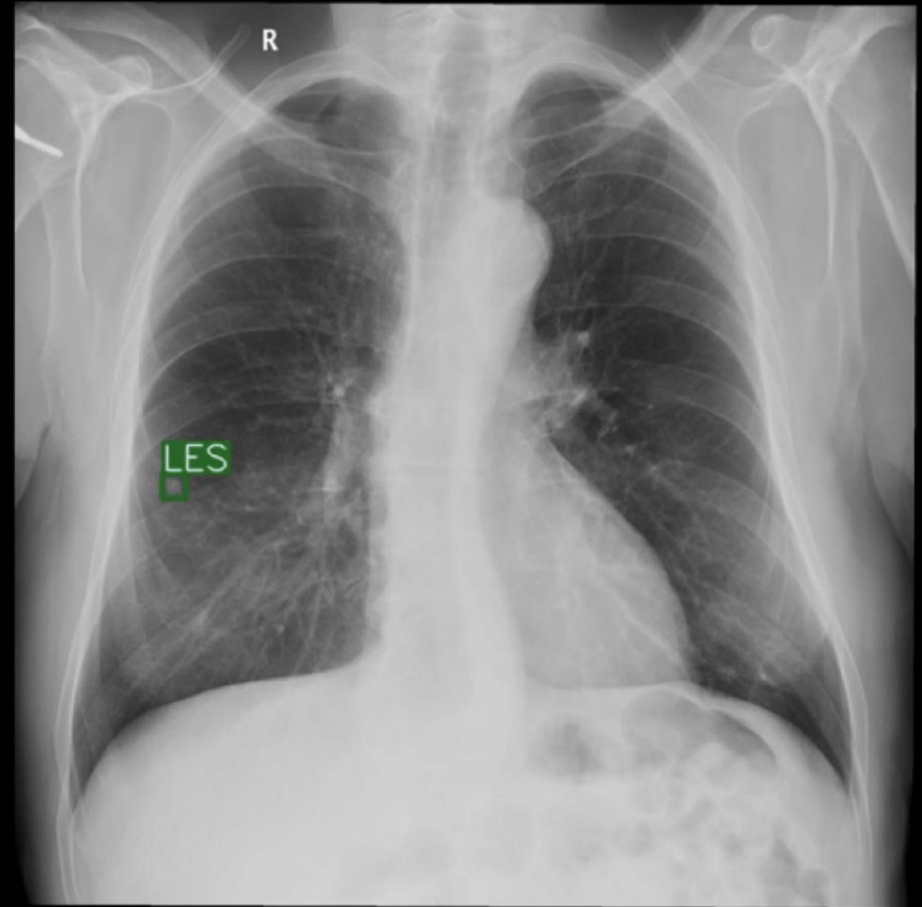
Carebot s.r.o. Abnormal LES, ostatní
ID: pSMQXaAVMCcoTTpi

Série 5 / 6
Obrázek 1 / 1

headers 1 / 1 93%

carebot

1.2.826.0.1.3680043.8.1053.6.1537963056189.537.18886165



ATE: Nízké riziko
CMG: Nízké riziko
CON: Nízké riziko
EFF: Nízké riziko

LES: Vysoké riziko
PNO: Nízké riziko
SCE: Nízké riziko

SR

1 snímek SR

1000 CAREBOT: Vys...

PR

1 snímek PR

1000 CAREBOT: Vys...

SR

1 snímek SR

1001 CAREBOT: Vys...

DOC

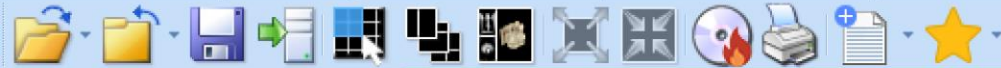
1 snímek DOC

7434 Chest



1 snímek DX

Pracovní sada snímků - Carebot s.r.o. Abnormal LES - 6 Sérií

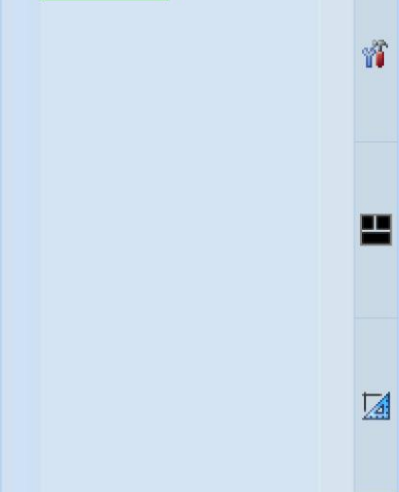


Tools



CXR 01^LES
10/6/2023

Reports ▶



DX448/1
U PA
Chest
CHEST



120.0 kV
270.0 mA
1.7 mAs
Pixel size: 0.194 mm
W: 1638 L: 8192

CXR 01^LES
wqv1Yz6I4BoG5KuO
10/6/2023

Scope: Segment

data G5L08LL17WEPO7LIK... X

DX 2023-04-27 1/1

DX 1/1 W Plice p.a.



SR 2/1 CAREBOT: Vysoke riziko

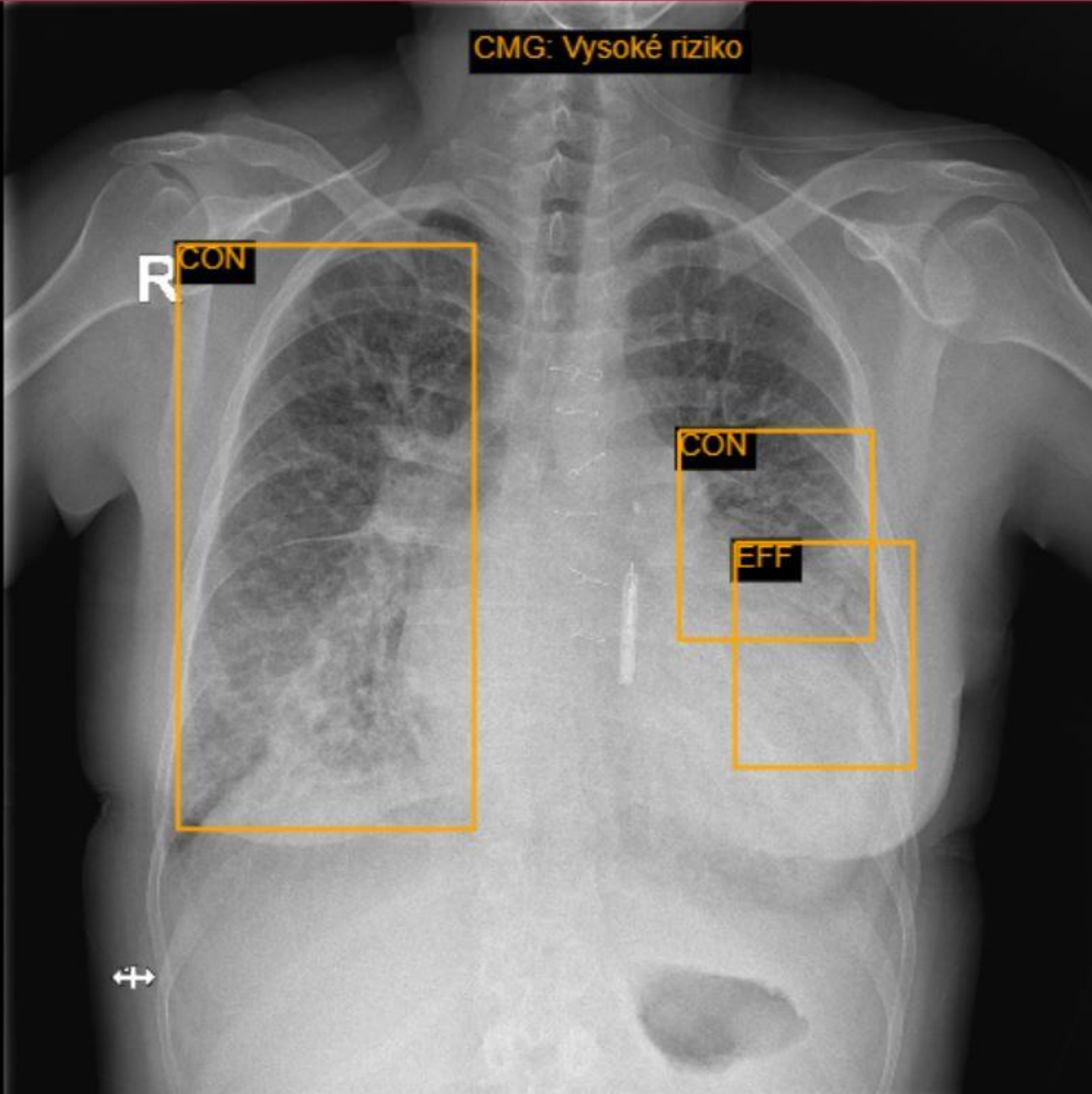


DOC 3/1 CAREBOT: Vysoke riziko



HAA_4782268
2860 x 2874

Z: 0.18
W: 51984 L:23632
S:





Vyšetření

Použit
tento snímek

Okno
Šířka | 256
Střed | 128

Zoom
Zoom | 0,758

Obecné

Orientace

Pohled
X | 3
Y | 1

Matrice snímku
X | 1
Y | 1

1. 2023-04-17 DOC, D

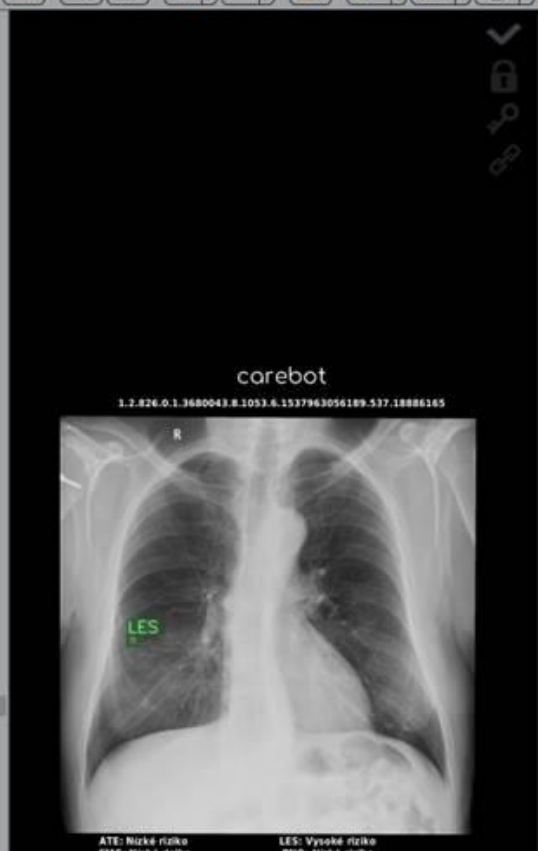
Carebot s.r.o. Abn...
PatID: pSMQXaA...

1 DOC, DX, SR | 2023-04-17

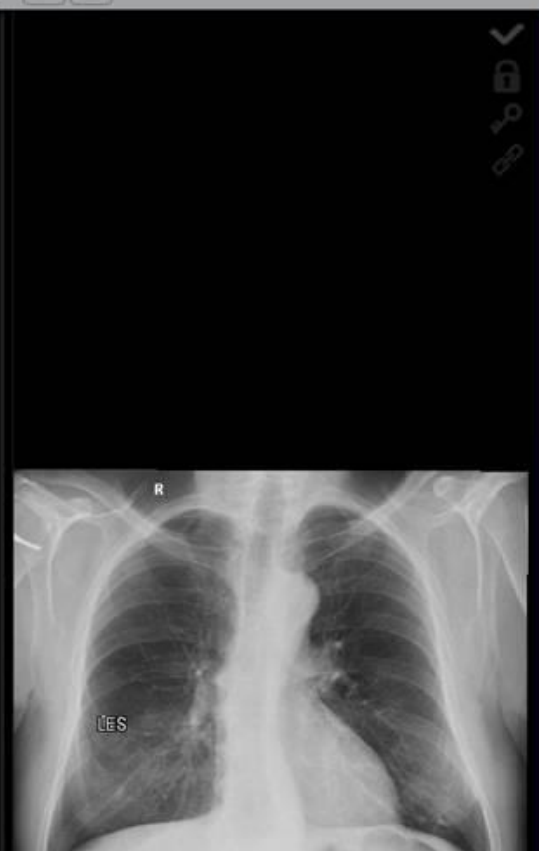
DO CAREBOT: 1
Vysoke riziko

DX Chest 1

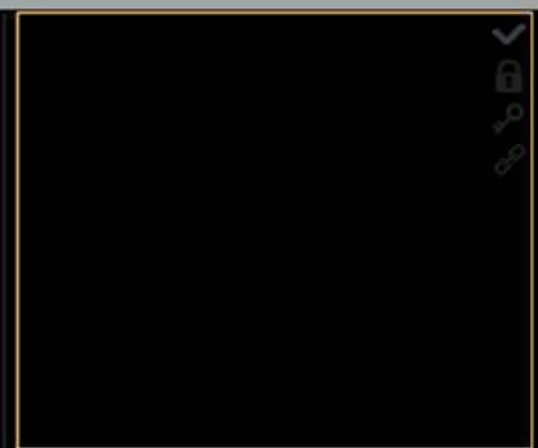
SR CAREBOT: 1
Vysoke riziko



© 2023 Carebot AI s.r.o. Všechna práva vyhrazena. Carebot AI je systém pro přehlednost a interpretaci rentgenových snímků plic. Carebot AI není určen k diagnostice a není náhradou za lékařskou péči. Carebot AI je systém pro přehlednost a interpretaci rentgenových snímků plic. Carebot AI není určen k diagnostice a není náhradou za lékařskou péči.



© 2023 Carebot AI s.r.o. Všechna práva vyhrazena. Carebot AI je systém pro přehlednost a interpretaci rentgenových snímků plic. Carebot AI není určen k diagnostice a není náhradou za lékařskou péči.



Číslo snímku: CAREBOT:DOC:DX:SR:2023-04-17:01
Účel snímku: "Snímek plic s ležící polohou, je automaticky generován na základě výsledků analýzy snímku."

Plice: Jsou přítomny ložiskové změny plicního parenchymu. Plicní ložiska jsou rozložena bez zřetelné tendence k perifernímu šíření a nevykazuje ostré hrany. Bez zřetelné nodularity a infiltrace v ohraničených zónách.

Rizikové faktory:
 Léze plicního parenchymu (LES): Vysoké riziko
 Infiltrace plicního parenchymu (PWO): Nizké riziko
 Zvětšení srdce (SCB): Nizké riziko
 Atelektázy (ATE): Nizké riziko
 Konsolidace plicního parenchymu (CON): Nizké riziko
 Fluida (EFF): Nizké riziko
 Horizontální emphyém (EFF): Nizké riziko

Identifikační údaje: ID: 1.2.826.0.1.3680043.R.1053.G.1537963056189.537.18886165

Carebot AI (CAI) je systém pro přehlednost a interpretaci rentgenových snímků plic, který je určen k diagnostice a není náhradou za lékařskou péči.

Číslo snímku je rozloženo na částech: Carebot, číslo snímku, číslo pacienta, číslo snímku, číslo snímku, číslo snímku, číslo snímku.

Carebot s.r.o.
 Rozdíl: 100 26E
 6-4-14 Kladno, Jovane
 Česká republika
 e-mail: rozliti@carebot.com
 tel: +420 739 74 210

© 2023 Carebot AI s.r.o. Všechna práva vyhrazena. Carebot AI je systém pro přehlednost a interpretaci rentgenových snímků plic. Carebot AI není určen k diagnostice a není náhradou za lékařskou péči.

1. 2023-04-17 DOC, D

Carebot s.r.o. Abn...
PatID: pSMQXaA...

1 DOC, DX, SR | 2023-04-17

DO CAREBOT: 1
Vysoke riziko

DX Chest 1

SR CAREBOT: 1
Vysoke riziko

Vyšetření

Použit
tento snímek

Okno
Šířka | 256
Střed | 128

Zoom
Zoom | 0,758

Obecné

Orientace

Pohled
X | 3
Y | 1

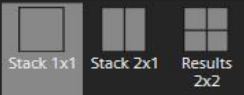
Matrice snímku
X | 1
Y | 1

© 2023 Carebot AI s.r.o. Všechna práva vyhrazena. Carebot AI je systém pro přehlednost a interpretaci rentgenových snímků plic. Carebot AI není určen k diagnostice a není náhradou za lékařskou péči.



Viewing

CR-DR-DX general



Viewing

Favorite Tools

Series

Findings

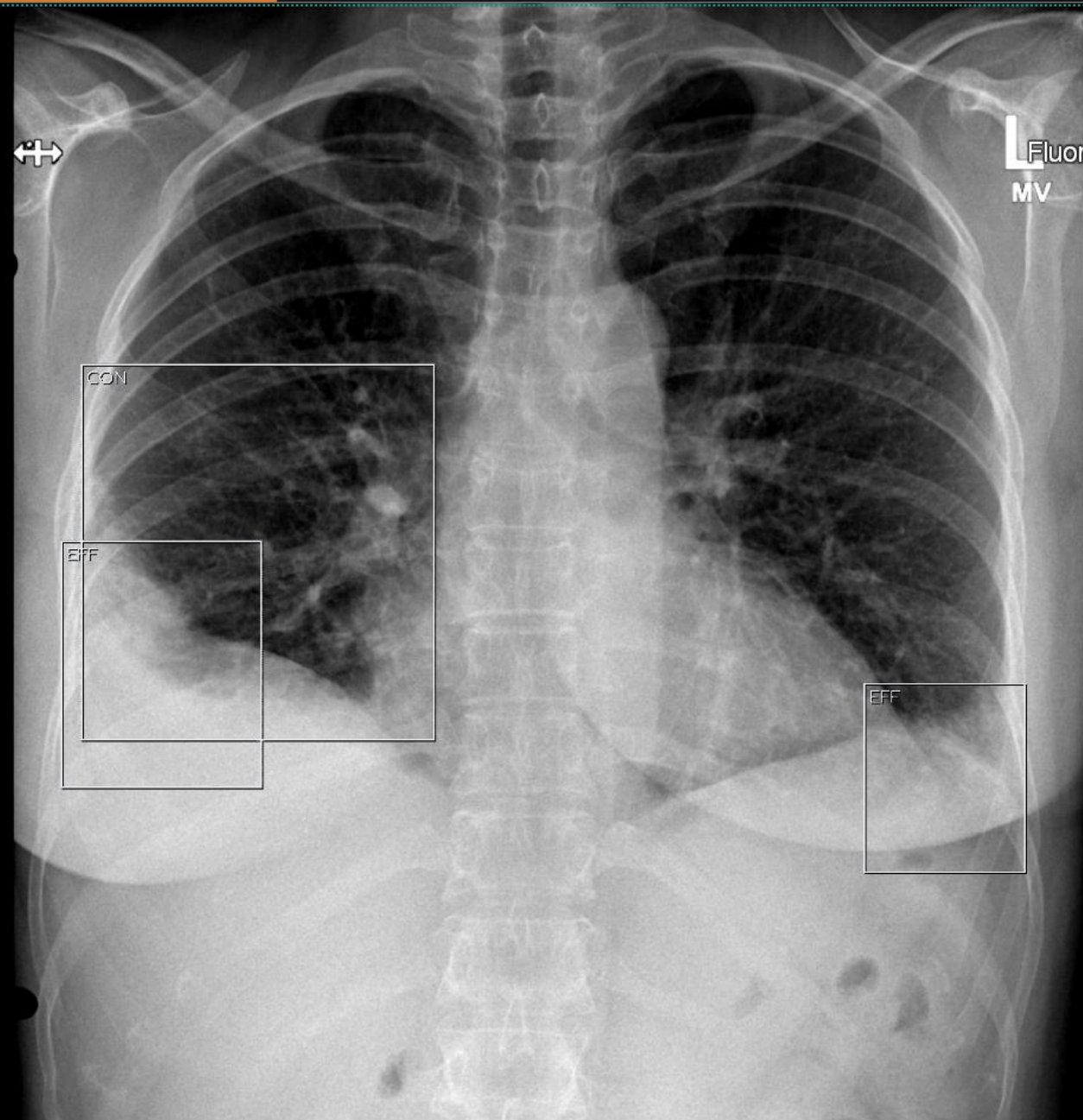
Printing

CURRENT STUDY

- 2

2 IMA 2

Deidentified
KV 125
DAP
EI 127
EI target 100
DI 1
mAs 1
FOR PRESENTATION



Fluorospot Compact FD PA
MV

Series



Current

Unknown study description



-1 [2]



-2 [2]

10cm

Zoom 0,46
W 31952
C 25296

Kde všude Carebot testovali/testují?



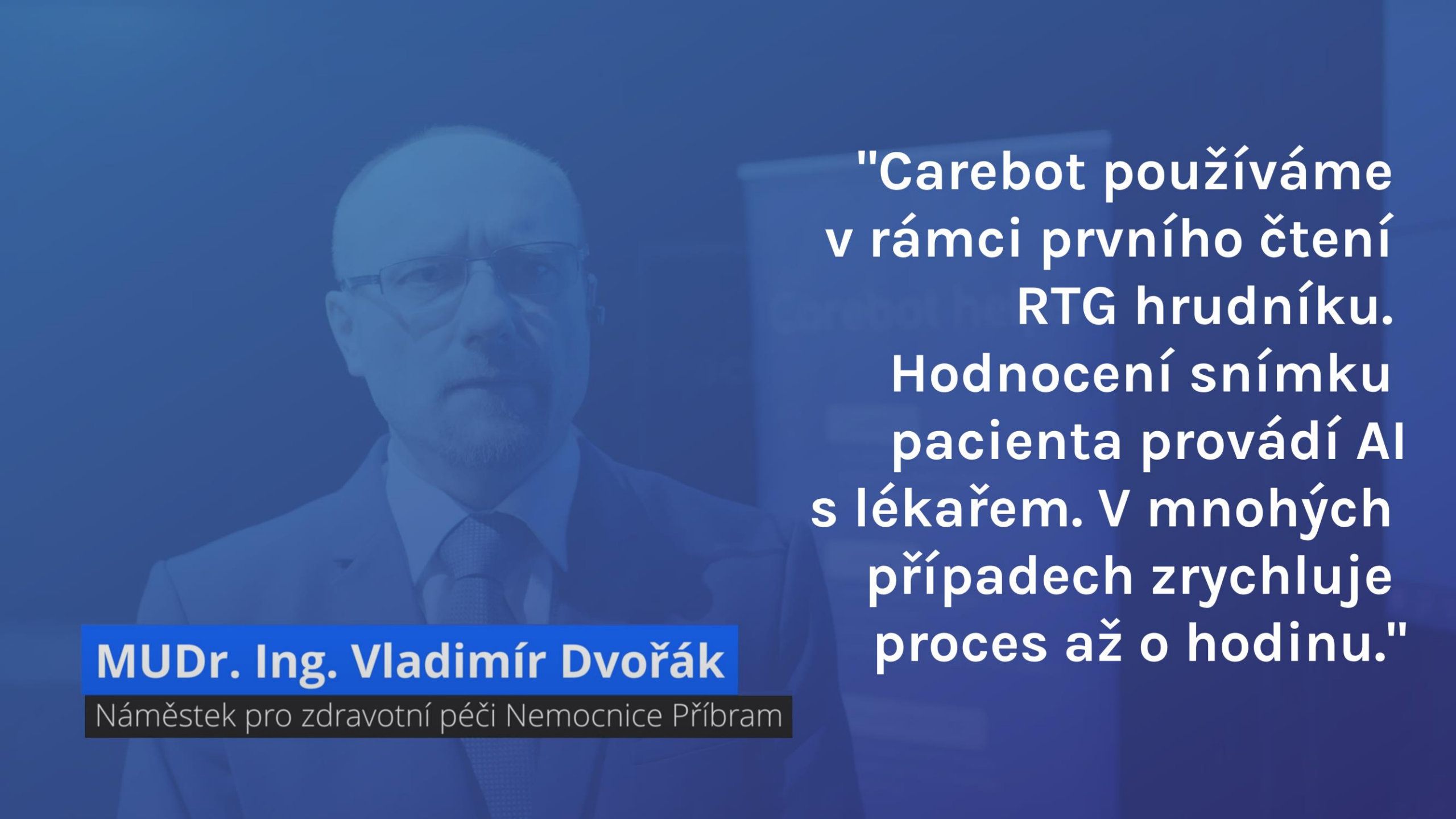
Významný hráč
v CEE regionu.

Získat majoritu
v AI na trhu

"Carebot využíváme na radiodiagnostickém oddělení v nemocnici každý den. Největší benefit má zejména u mladých lékařů, kteří jsou v zácvičku po atestaci."

MUDr. Jiří Gerold

Primář radiodiagnostického oddělení Nemocnice Šumperk



"Carebot používáme
v rámci prvního čtení
RTG hrudníku.
Hodnocení snímku
pacienta provádí AI
s lékařem. V mnohých
případech zrychluje
proces až o hodinu."

MUDr. Ing. Vladimír Dvořák





Náměstek pro zdravotní péči Nemocnice Příbram

Problém

- Až 22 % diagnostických chyb vznikne v souvislosti s hodnocením skiagramů hrudníku¹
- Rutinně prováděný skiagram hrudníku je často prvním vyšetřením, při němž jsou zachyceny ložiskové změny plicního parenchymu, které mohou být projevem nádorového onemocnění plic



Detecting Pulmonary Lesions in Low-Prevalence Real-World Settings Using Deep Learning

Daniel Kvak¹ , Anna Chromcová¹, Petra Ovesná² , Jakub Dandár³,
Marek Biros¹ , Robert Hrubý¹ , Daniel Dufek¹, and Marija Pajdaković¹

¹ Carebot s.r.o., 128 00 Prague, Czech Republic
daniel.kvak@carebot.com

² Institute of Biostatistics and Analysis s.r.o., 602 00 Brno, Czech Republic

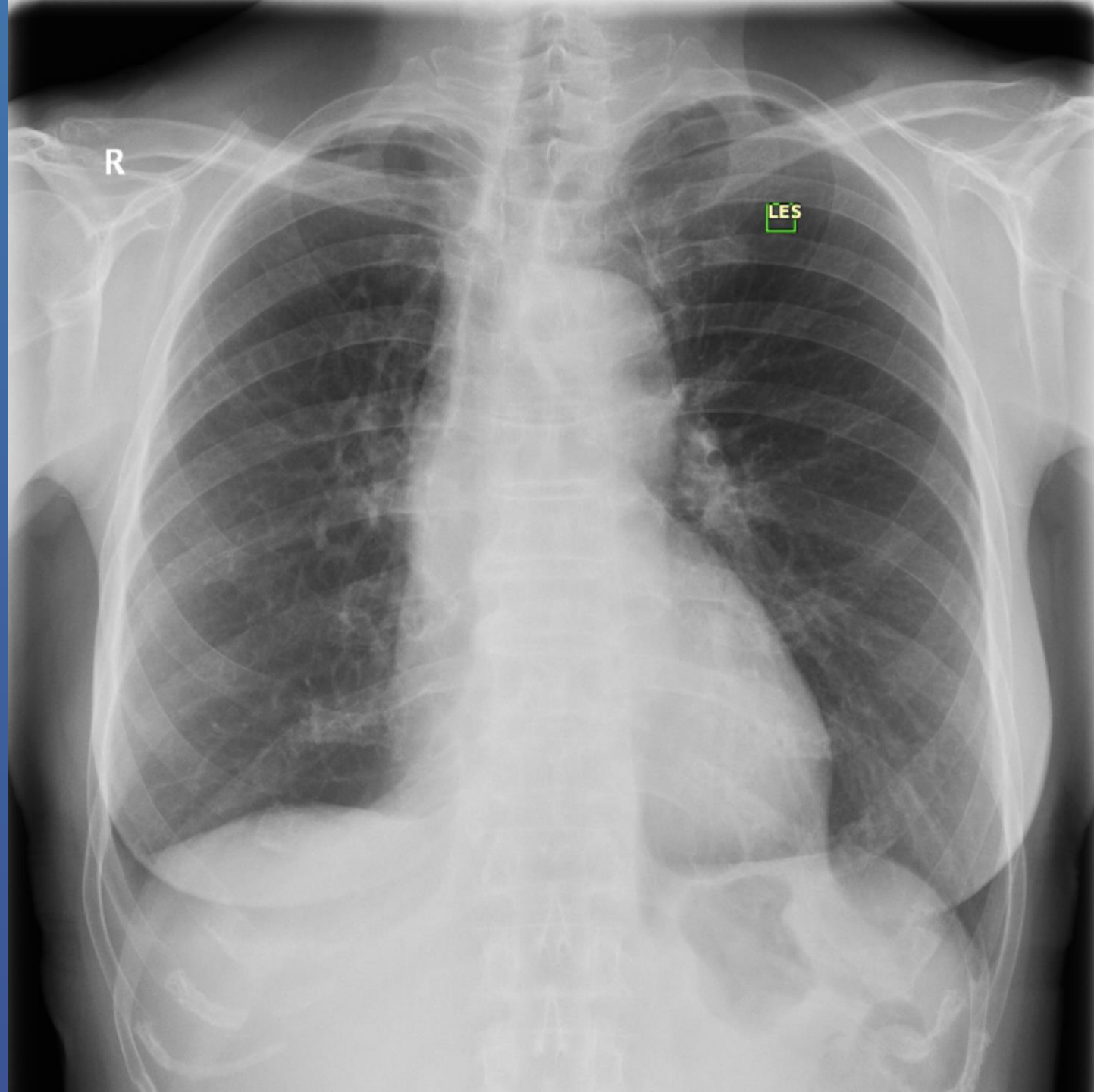
³ Havřov Hospital and Clinic, 736 01 Havřov, Czech Republic

Abstract. The rapid advancement of artificial intelligence (AI) in medical imaging has presented an exciting prospect of enhancing diagnostic accuracy and efficiency. One of the active areas of research is the use of deep-learning-based automatic detection algorithms (DLAD) in chest radiography, which has shown tremendous potential in identifying various findings such as tuberculosis or pulmonary lesions. However, despite the promising results in the controlled, high-prevalence simulated conditions typically observed in research settings, there are concerns about the use of these applications in real-world scenarios. For our study, we collected 956 chest X-ray images (CXR) from daily clinical practice at a municipal hospital. Two central readers with access to the patient's previous and subsequent examinations achieved blinded agreement for 901 CXRs, of which 21 were visually confirmed to contain one or more pulmonary lesions (prevalence: 2.3%) and 880 were found to contain no pulmonary lesions. Six radiologists of varying expertise were asked to conduct a retrospective analysis of these images. Subsequently, the performance of each radiologist was benchmarked against the ground truth and the proposed DLAD (2.0.20–v2.01). The proposed DLAD demonstrated higher sensitivity (Se of 0.905 (0.715–0.978)) than that of all assessed radiologists (RAD 1 0.238 (0.103–0.448), $p < 0.001$, RAD 2 0.333 (0.170–0.544), $p < 0.001$, RAD 3 0.524 (0.324–0.717), $p < 0.001$, RAD 4 0.619 (0.410–0.794), $p < 0.001$, RAD 5 0.667 (0.456–0.83), $p < 0.001$, RAD 6 0.619 (0.41–0.794), $p < 0.001$), and the difference was statistically significant. The DLAD specificity (Sp of 0.893 (0.871–0.912)) was significantly lower than that of five compared radiologists (RAD 1 0.999 (0.994–1), $p < 0.001$, RAD 2 0.933 (0.915–0.948), $p < 0.001$, RAD 4 0.968 (0.955–0.978), $p < 0.001$, RAD 5 0.991 (0.982–0.996), $p < 0.001$, RAD 6 0.989 (0.979–0.994), $p < 0.001$), with the exception of one, mid-level experienced radiologist but the difference was not statistically significant (RAD 3 0.884 (0.861–0.904), $p = 0.685$). The results of this study demonstrate that the proposed DLAD achieves a high level of sensitivity and a relatively reliable level of specificity even when applied in low-prevalence real-world settings. Therefore, it can be advantageous for use by radiologists, irrespective of their expertise level.

© The Author(s), under exclusive license to Springer Nature Singapore Pte Ltd. 2024
R. Su et al. (Eds.): MICAD 2023, LNEE 1166, pp. 3–20, 2024.
https://doi.org/10.1007/978-981-97-1335-6_1

¹ Donald, J. J., & Barnard, S. A. (2012). Common patterns in 558 diagnostic radiology errors. *Journal of medical imaging and radiation oncology*, 56(2), 173–178.







normal	✓	✗	✓	✓	✓	✗
external device	✗	✗	✗	✗	✗	✗
atelectasis	✗	✗	✗	✗	✗	✗
consolidation	✗	✗	✗	✗	✗	✗
cardiomegaly	✗	✗	✗	✗	✗	✗
fracture	✗	✗	✗	✗	✗	✗
mediastinal widening	✗	✗	✗	✗	✗	✗
pneumoperitoneum	✗	✗	✗	✗	✗	✗
pneumothorax	✗	✗	✗	✗	✗	✗
pulmonary edema	✗	✗	✗	✗	✗	✗
pleural effusion	✗	✗	✗	✗	✗	✗
pulmonary lesion	✗	✓	✗	✗	✗	✓
hilar enlargement	✗	✗	✗	✗	✗	✗
subcutaneous emphysema	✗	✗	✗	✗	✗	✗

Data a demografické informace

- Single-center, multi-reader studie
- Skiagramy hrudníku pořízené mezi 18.10. a 17.11.2022 na radiodiagnostickém oddělení Nemocnice Havířov, p.o.
- Celkem získáno 1 073 snímků, z nichž 956 bylo relevantních, u 901 stanovená základní pravda (*ground truth*)

Sample	n
Collected images	1,073
<i>excluded from sample</i>	117
Relevant images	956
<i>unable to establish ground truth</i>	55
Used for assessment	901
<i>with one or more pulmonary lesions</i>	21
<i>without pulmonary lesion</i>	880

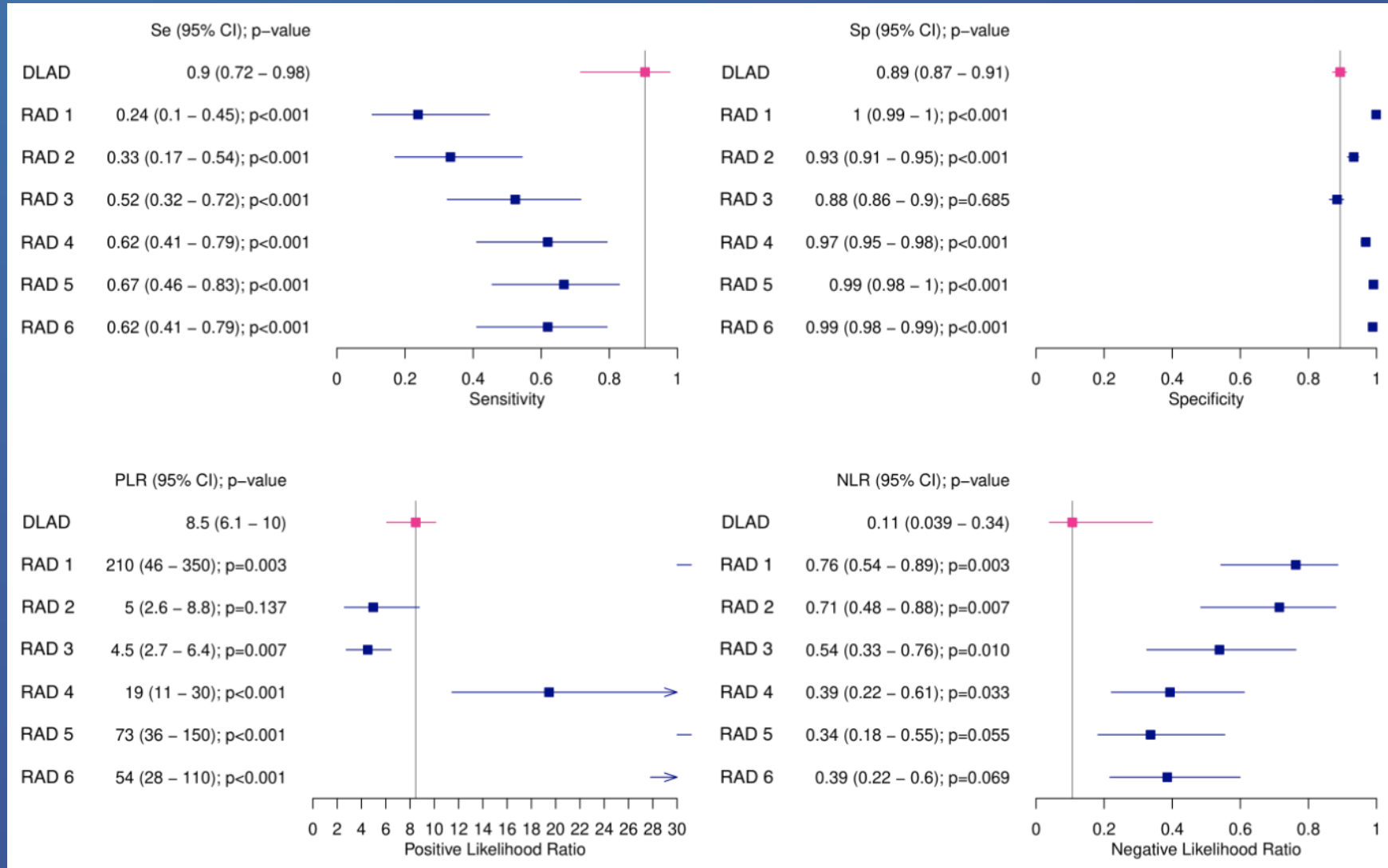
Tab. 1: Rozdělení vzorku snímků shromážděných pro navrženou studii

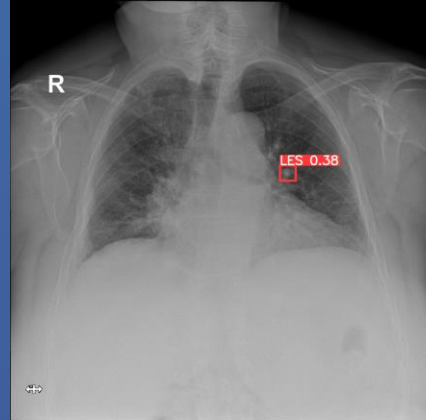
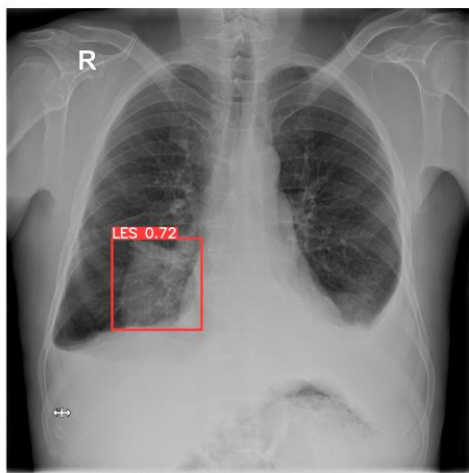
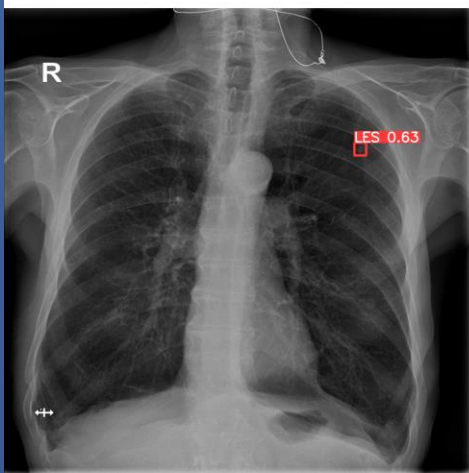
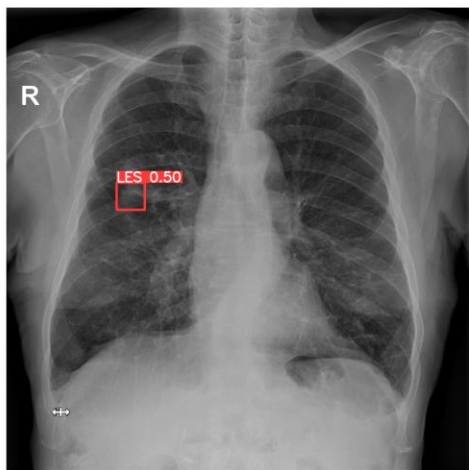
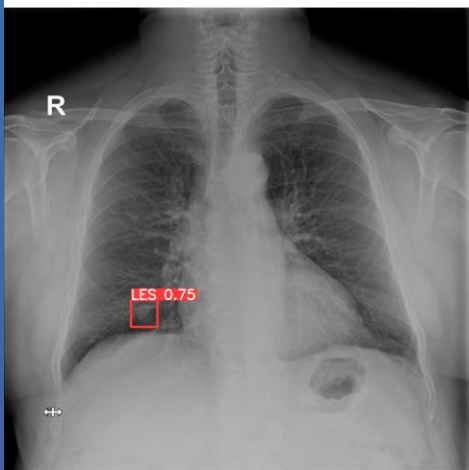
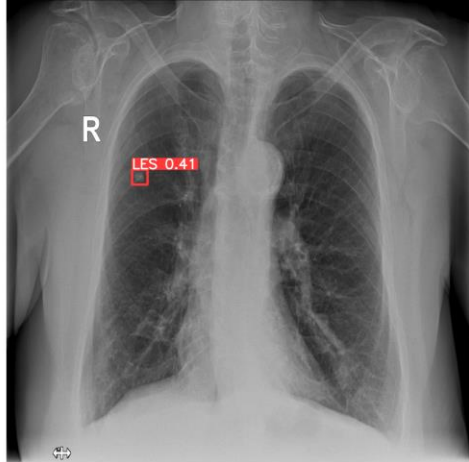
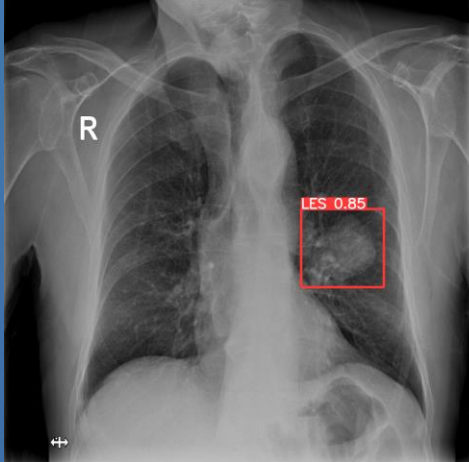
Popis snímků a panel radiologů

Každý z 901 snímků byl popsán naším navrhovaným modelem a šesti oslovenými radiology:

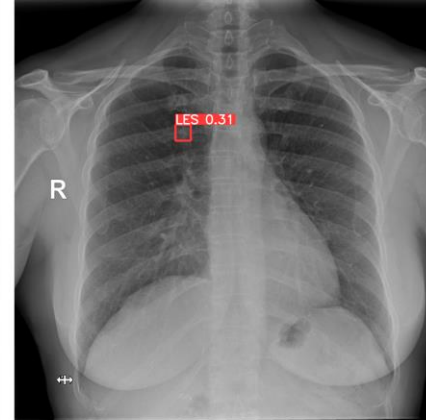
- DLAD (Carebot AI CXR 2.0.20-v2.01)
- Radiolog 1 + 2: <2 roky zkušeností, bez kmenové zkoušky
- Radiolog 3 + 4: <5 let zkušeností, s kmenovou zkouškou
- Radiolog 5 + 6: >5 let zkušeností, s atestací

Porovnání s panelem radiologů

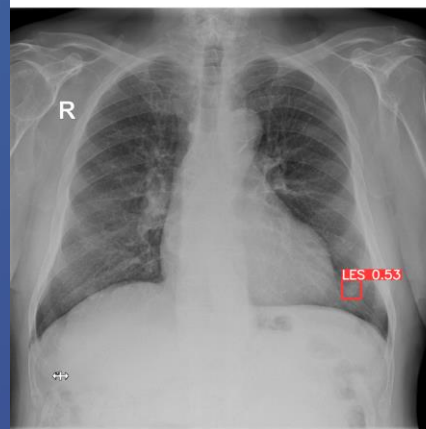




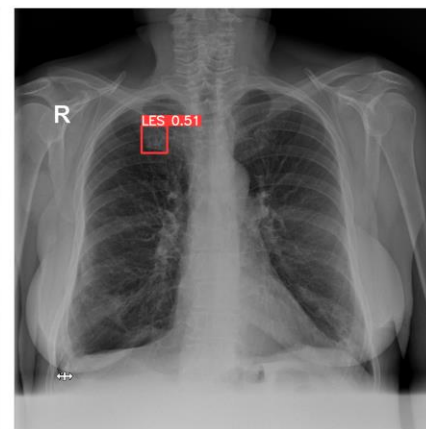
(a)



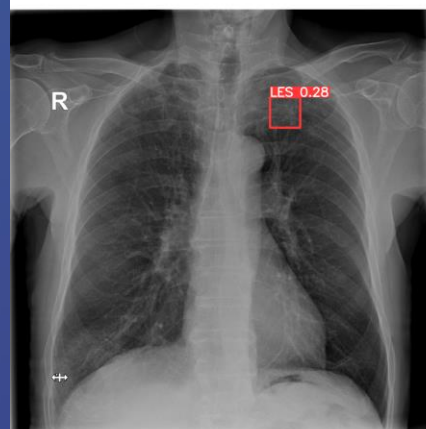
(b)



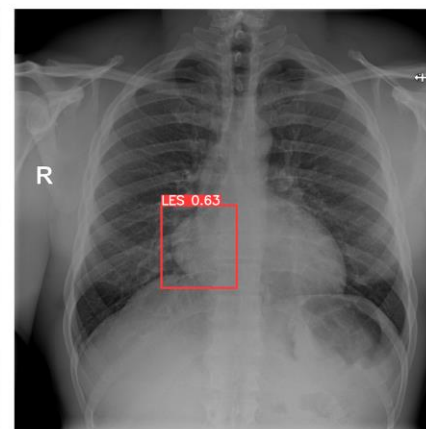
(c)




(d)



(e)



(f)



Vydali jsme
19 studií
v Q1 a Q2 žurnálech.

Carebot AI Bones

- Systém pro analýzu rentgenových snímků MSK skeletu
- Detekce fraktur, kostních lézí, luxace, apod.
- Prezentováno na Evropském radiologickém kongresu ve Vídni
- Vysoká míra senzitivity hodnocení



Cross-Center Validation of Deep Learning Model for Musculoskeletal Fracture Detection in Radiographic Imaging: A Feasibility Study

Poster No.: C-23366

Congress: ECR24

Authorblock: R. Hrubý, D. Kvak, J. Dandar, A. Atakhanova, M. Misaf, D. Dufek; Prague/CZ

Disclosures:

BSc Robert Hrubý: Employee: Carebot s.r.o.

Daniel Kvak: CEO: Carebot s.r.o.

Dr. Jakub Dandar: Employee: Carebot s.r.o.

Anora Atakhanova: Employee: Carebot s.r.o.

Mr. Matěj Misaf: Board Member: Carebot s.r.o.

Mr. Daniel Dufek: Employee: Carebot s.r.o.

Keywords: Artificial Intelligence, Musculoskeletal bone, CAD, Plain radiographic studies, CAD, Acute

Any information contained in this PDF file is automatically generated from digital material submitted to EPOS by third parties in the form of scientific presentations. References to any names, marks, products, or services of third parties or hypertext links to third-party sites or information are provided solely as a convenience to you and do not in any way constitute or imply ECR's endorsement, sponsorship or recommendation of the third party, information, product or service. ECR is not responsible for the content of these pages and does not make any representations regarding the content or accuracy of material in this file.

As per copyright regulations, any unauthorised use of the material or parts thereof as well as commercial reproduction or multiple distribution by any traditional or electronically based reproduction/publication method is strictly prohibited. You agree to defend, indemnify, and hold ECR harmless from and against any and all claims, damages, costs, and expenses, including attorneys' fees, arising from or related to your use of these pages.

Please note: Links to movies, ppt slideshows and any other multimedia files are not available in the pdf version of presentations.

Purpose or Learning Objective:

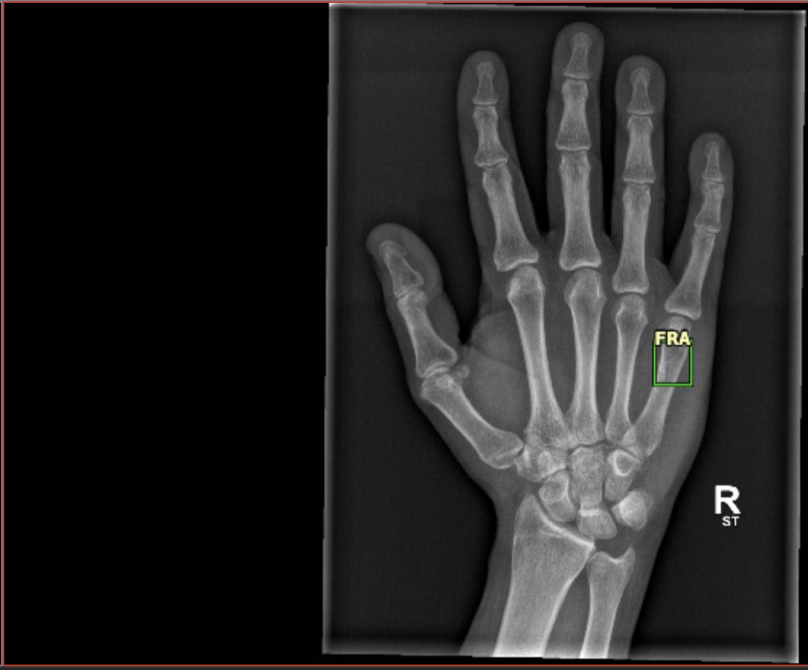
Bone fractures, defined as disruptions in bone continuity, arise from diverse etiologies including trauma, stress injuries, and pathological conditions such as osteoporosis [1]. These fractures, irrespective of the patient's age, manifest a spectrum of clinical presentations ranging from mild symptoms like pain and swelling to severe complications including deformity and functional impairment of the impacted region. Clinically, fracture diagnosis incorporates an injury history, physical examination, and symptom evaluation, notably pain, edema, morphological alterations, abnormal mobility, and occasionally crepitus – a palpable or audible friction in the fractured bone. However, symptomatology in certain fracture types, such as closed or stress fractures, might be subtle or non-specific.

Diagnostic approaches for fracture detection and confirmation predominantly utilize X-ray imaging as the initial modality, offering detailed bone structure visualization and fracture identification. Supplementary imaging techniques, including computed tomography (CT), magnetic resonance imaging (MRI), or ultrasound, are employed for complex cases or specific fracture types where musculoskeletal (MSK) X-rays are inadequate. Fracture management strategies depend on fracture characteristics like type, location, and severity, ranging from non-invasive treatments like splint immobilization to surgical interventions using internal osteosynthesis with screws, pins, wires, or external fixation devices. Rehabilitation, encompassing physical therapy and exercises, is crucial for restoring function and strength to the affected region.

In the realm of clinical decision-making, the integration of deep learning-based decision support software for radiograph interpretation marks a significant advancement. Despite promising developments, existing algorithms for fracture detection face practical limitations, including the inability to analyze all body parts simultaneously or detect multiple fractures in a single X-ray, which are common in clinical practice. Leveraging sophisticated deep learning models, such software enhances fracture detection accuracy on radiographs, alleviates the diagnostic workload of radiologists, and augments patient outcomes through expedited and precise diagnostic processes [2].

603752
Trauma
2024-04-01 00:00
Carebot s.r.o. fractu...
900956
Trauma
2024-04-01 00:00
Carebot s.r.o. fractu...
239009
Trauma
2024-04-01 00:00
Carebot s.r.o. fractu...
177794
Trauma
2024-04-01 00:00
Carebot s.r.o. fractu...
506129
Trauma
2024-04-01 00:00
Carebot s.r.o. fractu...
288304406 PR
288304406 PR
77846169 PR
288304406 PR
288304406 PR

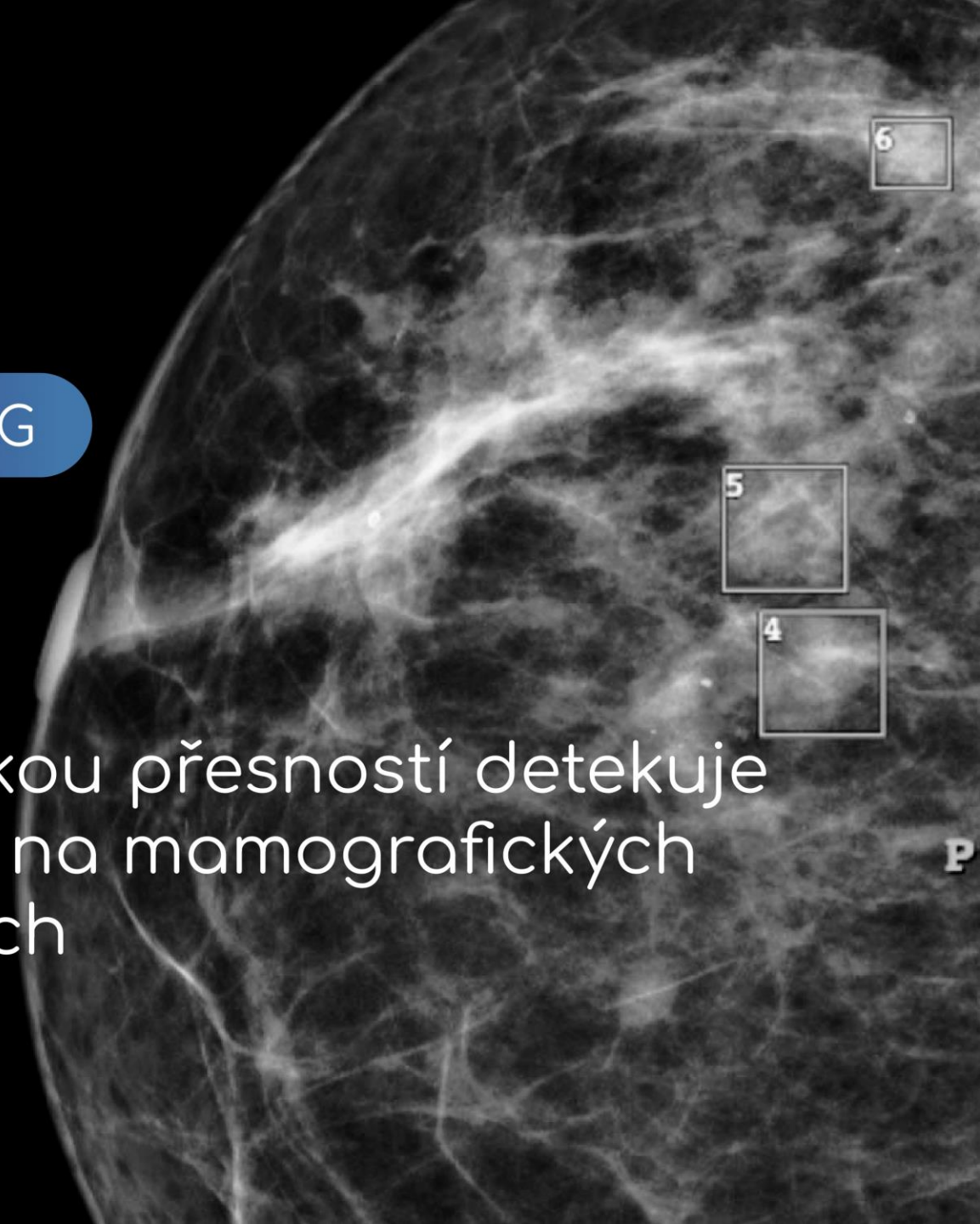
Pracovní sada snímků - Carebot s.r.o. fractures; Carebot s.r.o. fractures; Carebot s.r.o. fractures; Carebot s.r.o. fractures; Carebot s.r.o. fractures; ...



carebot

AI MMG

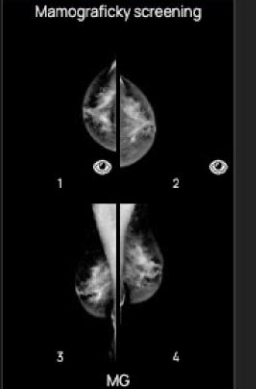
s vysokou přesností detekuje
nálezy na mamografických
snímcích



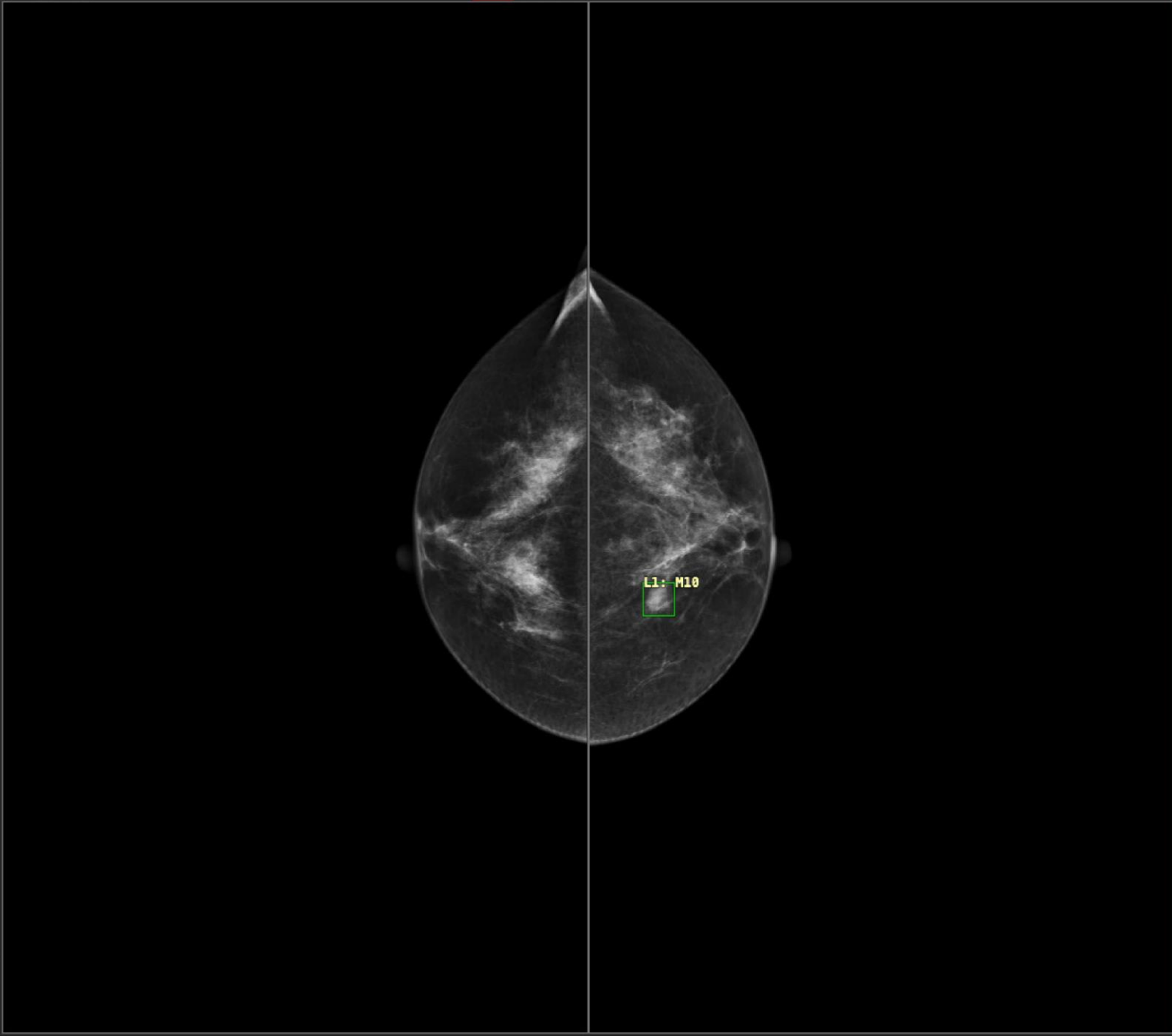
ANONYM PACIENT
0000000000
Mamograficky screening
2021-03-19 11:16

Pracovní sada snímků - ANONYM PACIENT - 3 Série

CAREBOT: Vysoke riziko
SR
1 1023 SR



CAREBOT: Vysoke riziko
1 808399573 PR



Pacient

ANONYM PACIENT
*7. 12. 1973 , žena 50 let
ID: 0000000000

Studie

Číslo žádanky : 740446
Datum vyšetření : 19. 3. 2021 11:16:31
Datum zprávy : 18. 3. 2024
Popis studie : Mamograficky screening

Jazyk textu: Czech
Typ pozorovatele: Device
Výrobce přístroje: CAREBOT
Název přístroje: Carebot AI MMG
Modelové číslo přístroje: 2.2.11-v2.03-(M:v2.2 MC:v2.2 D:v2.2)
Zjištění: (Upozornění: Následující textový výstup je automaticky generován na základě výsledku analýzy snímku umělou inteligencí. Definitivní hodnocení snímku a lékařská zpráva musí být korelována s klinickým obrazem a zůstává odpovědností lékaře.)

Denzita prsní tkáně:
B: Tukové žlázoový typ. (Možný výskyt fibroglandulárních denzit.)

Systém Carebot AI MMG našel potenciálně významné nálezy.
Doporučujeme navazující vyšetření.
Pozorovaná ložiska:
Ložisko: 1: 12.8mm (L_CC) - Skóre rizika 10/10

Vstupní dávka (mGy):
L_CC: 7.038, R_CC: 7.041, L_MLO: 7.97, R_MLO: 7.888

Síla komprese (N):
L_CC: 30, R_CC: 40, L_MLO: 50, R_MLO: 60

Study Instance UID: 1.2.826.0.1.3680043.2.1038.4.1.54.740446

Carebot AI MMG je systém pro podporu rozhodování (zařazení „prediction, software that is intended to provide information for decision-making for diagnostic or therapeutic purposes“) na bázi počítačem podporované detekce. Nejedná se o certifikovaný zdravotnický prostředek. Software Carebot AI MMG může obsluhovat pouze zaškolený personál s požadovanou způsobilostí. Vyhodnocování snímků lze provádět pouze na certifikovaných radiologických monitorech a v souladu s doporučením výrobce. Před užitím je nutné seznámit se s návodem k použití. V případě obdržení nesprávného výsledku prosím kontaktujte report@carebot.com pro předání zpětné vazby.

Čtěte návod k použití na odkaze
https://www.carebot.com/manual/oznaceni_carebot_ai_mmg.html

Carebot s.r.o.
Rozdrojovice 26E
664 34 Rozdrojovice
Czech Republic
email: report@carebot.com

WARNING

carebot

AI DRIVEN HEALTHCARE

COMPANY AWARDED BY



50 Technology **Fast 50**
2021 CENTRAL EUROPE

